

# **Modélisation du Stockage du Dioxyde de Carbone dans différents compartiments**

**PATEL Lucah, ERRIADI Amine,  
EKNOSYAN Gagik**

Mai 2025

**Dans ce projet, trois variables sont étudiées:**

$C_A(t)$  La quantité de carbone stockée dans l'atmosphère.

$C_T(t)$  La quantité de carbone stockée dans les arbres.

$C_S(t)$  La quantité de carbone stockée dans les sols.

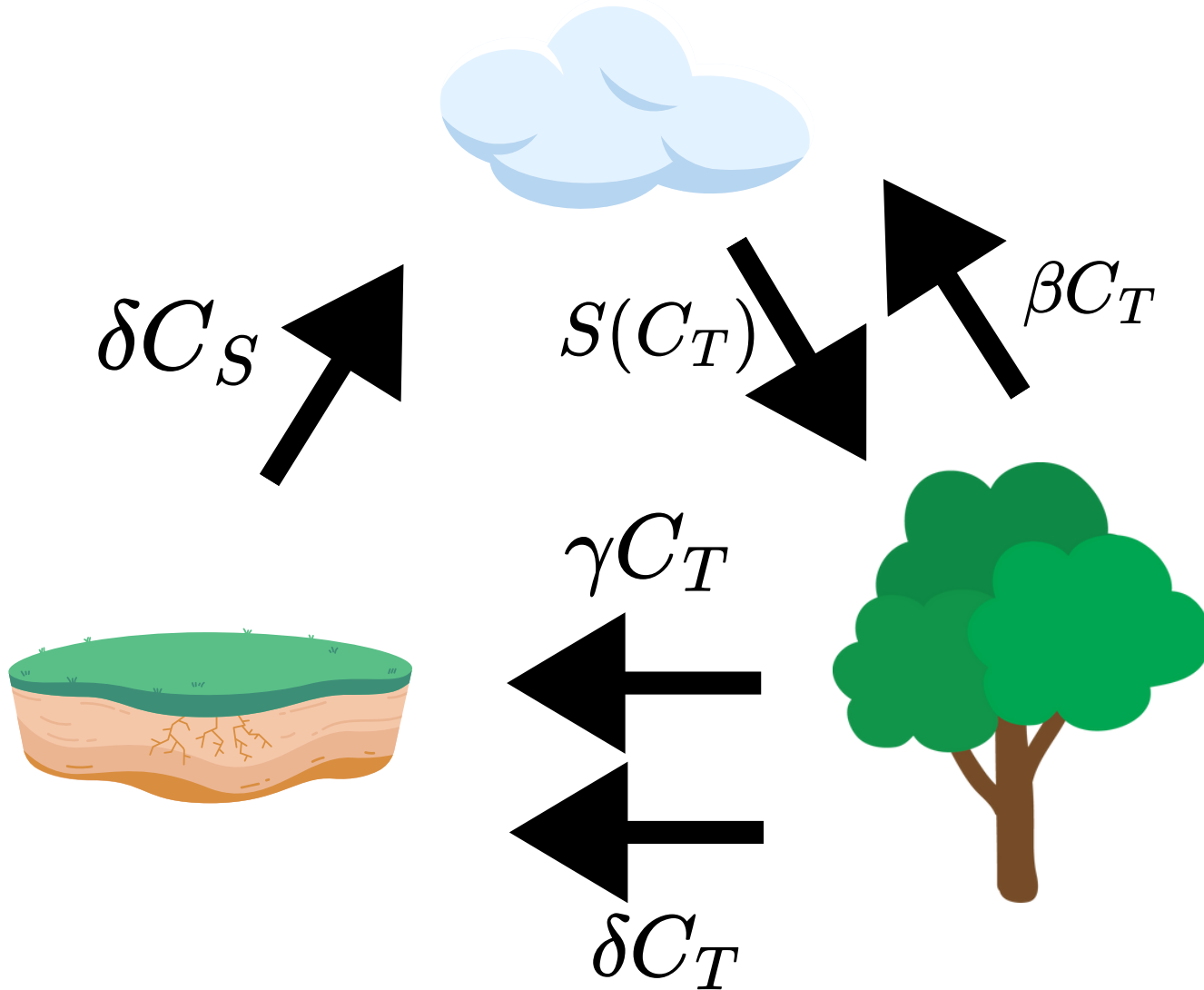
On a

$$\begin{cases} \frac{dC_A(t)}{dt} = -S(C_T(t)) + \beta C_T(t) + \delta C_S(t) \\ \frac{dC_T(t)}{dt} = S(C_T(t)) - \beta C_T(t) - \delta C_T(t) - \gamma C_T(t) \\ \frac{dC_S(t)}{dt} = \gamma C_T(t) - \delta C_S(t) + \delta C_T(t) \end{cases}$$

Où  $S(C_T) = \alpha C_T \left(1 - \frac{C_T}{K}\right)$

Représente le taux de séquestration du carbone dans les arbres

# Interprétations :



# Résolution : Notations

$$\vec{C}(t) = \begin{pmatrix} C_A(t) \\ C_T(t) \\ C_S(t) \end{pmatrix} \quad f(t, \vec{C}(t)) = \begin{pmatrix} -\alpha C_T(t)(1 - \frac{C_T(t)}{K}) + \beta C_T(t) + \delta C_S(t) \\ \alpha C_T(t)(1 - \frac{C_T(t)}{K}) - \beta C_T(t) - \delta C_T(t) - \gamma C_T(t) \\ \gamma C_T(t) - \delta C_S(t) + \delta C_T(t) \end{pmatrix}$$

$$\text{Ainsi : } \frac{d\vec{C}(t)}{dt} = f(t, \vec{C}(t))$$

Discrétisation temporelle :

$$t_{n+1} = t_n + h$$

$$\begin{array}{lll} \text{On va noter :} & \vec{C}_n & = \vec{C}(t_n) \\ & C_A(t_n) & = C_{A,n} \\ & C_T(t_n) & = C_{T,n} \\ & C_S(t_n) & = C_{S,n} \end{array}$$

# Résolution : Euler Implicite

$$\int_{t_n}^{t_{n+1}} \frac{d\vec{C}(t)}{dt} dt = \int_{t_n}^{t_{n+1}} f(t, \vec{C}(t)) dt$$

On obtient par le rectangle à droite :

$$\vec{C}_{n+1} - \vec{C}_n \approx (t_{n+1} - t_n) f(t_{n+1}, \vec{C}_{n+1})$$

On obtient la suite suivante :

$$\vec{C}_{n+1} = \vec{C}_n + h f(t_{n+1}, \vec{C}_{n+1})$$

**Problème : ce n'est pas linéaire, difficile  
d'isoler  $\vec{C}_{n+1}$**

# Résolution : Euler Explicite

$$\int_{t_n}^{t_{n+1}} \frac{d\vec{C}(t)}{dt} dt = \int_{t_n}^{t_{n+1}} f(t, \vec{C}(t)) dt$$

On obtient par le rectangle à gauche :

$$\vec{C}_{n+1} - \vec{C}_n \approx (t_{n+1} - t_n) f(t_n, \vec{C}_n)$$

On obtient la suite suivante :

$$\vec{C}_{n+1} = \vec{C}_n + h f(t_n, \vec{C}_n)$$

On pourra comparer les méthodes implicites et explicites

# Résolution : Point Fixe

En posant :  $F(\vec{C}_{n+1}) = \vec{C}_n + h \cdot f(t_{n+1}, \vec{C}_{n+1})$

On se ramène à résoudre à chaque étape :

$$F(\vec{C}_{n+1}) = \vec{C}_{n+1}$$

On peut montrer que  $F$  est contractante pour  $h$  assez petit, donc la suite  $(\vec{C}_{n,k})_{k \in \mathbb{N}}$  définie par :

$$\begin{cases} \vec{C}_{n,k+1} = F(\vec{C}_{n,k}) \\ \vec{C}_{n,0} = \vec{C}_{n-1} \end{cases}$$

Converge vers l'unique point fixe de  $F$

# Résolution : Trapèzes

On peut utiliser la méthode des trapèzes pour mieux approximer l'intégrale :

$$\int_{t_n}^{t_{n+1}} f(t, \vec{C}(t)) dt \approx \frac{h}{2} (f(t_{n+1}, \vec{C}_{n+1}) + f(t_n, \vec{C}_n))$$

On a alors :

$$\vec{C}_{n+1} = \vec{C}_n + \frac{h}{2} (f(t_{n+1}, \vec{C}_{n+1}) + f(t_n, \vec{C}_n))$$

$$F(\vec{C}_{n+1}) = \vec{C}_n + \frac{h}{2} (f(t_{n+1}, \vec{C}_{n+1}) + f(t_n, \vec{C}_n))$$

On va utiliser la méthode de newton pour résoudre  $F(\vec{C}_{n+1}) = \vec{C}_{n+1}$



# Résolution : Newton

$$f_{newton}(\vec{C}_{n+1}) = F(\vec{C}_{n+1}) - \vec{C}_{n+1}$$

On résout :  $f_{newton}(\vec{C}_{n+1}) = 0$

$$f'_{newton}(\vec{C}_{n+1}) = \frac{d}{d\vec{C}_{n+1}} f_{newton}(\vec{C}_{n+1})$$

$$f'_{newton}(\vec{C}_{n+1}) = \frac{h}{2} \frac{d}{d\vec{C}_{n+1}} f(t_{n+1}, \vec{C}_{n+1}) - I_3$$

$$f'_{newton}(\vec{C}_{n+1}) = \frac{h}{2} \begin{pmatrix} 0 & -\alpha + \frac{2C_{T,n+1}}{K} + \beta & \delta \\ 0 & \alpha - \frac{2C_{T,n+1}}{K} - \beta - \delta - \gamma & 0 \\ 0 & \gamma + \delta & -\delta \end{pmatrix} - I_3$$

# Résolution : Newton

Ainsi, chaque  $\vec{C}_n$  est solution de l'équation  $f_{newton}(X) = 0$

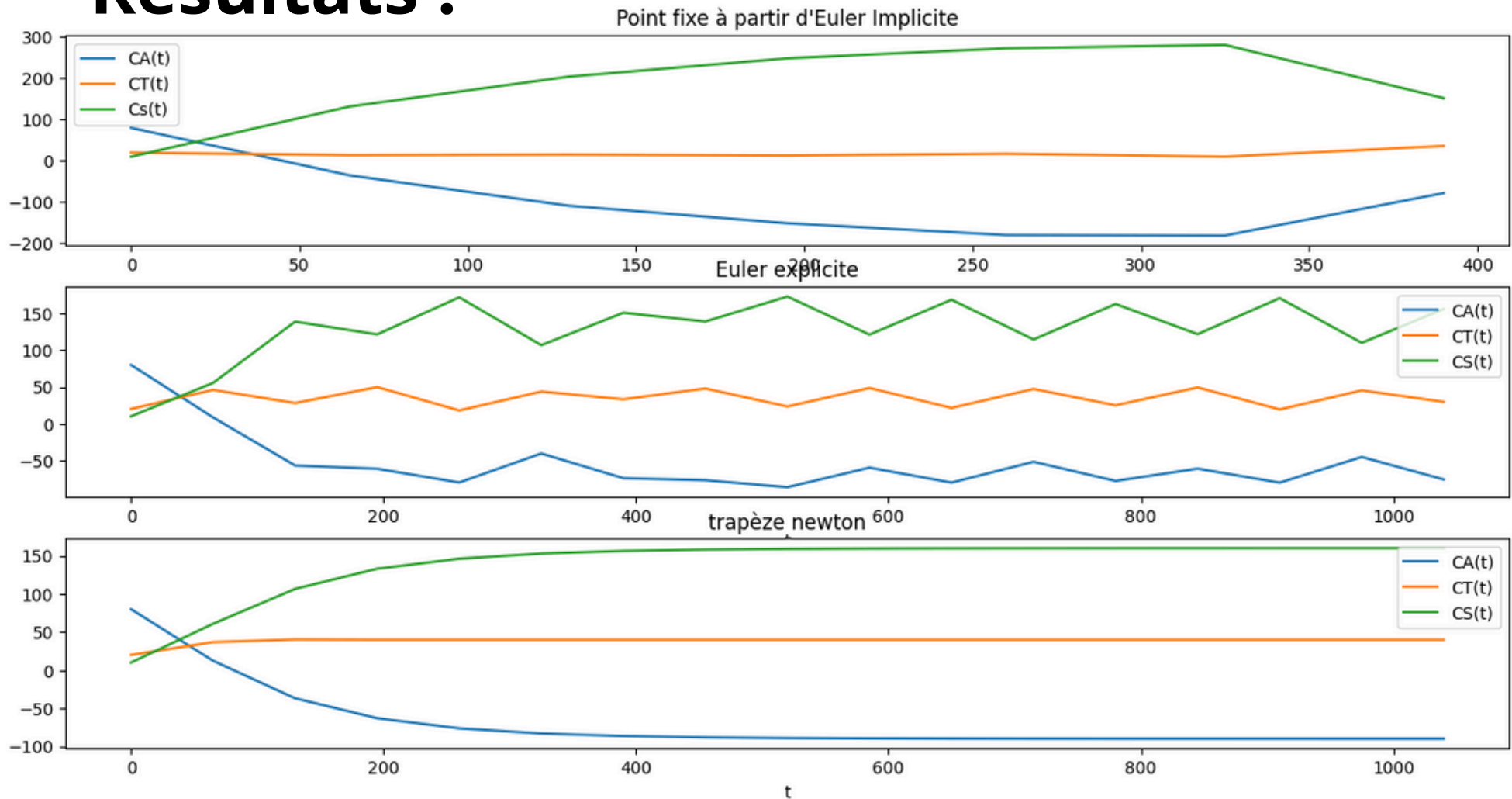
(la fonction de newton n'est pas la même selon n)

Algorithme :

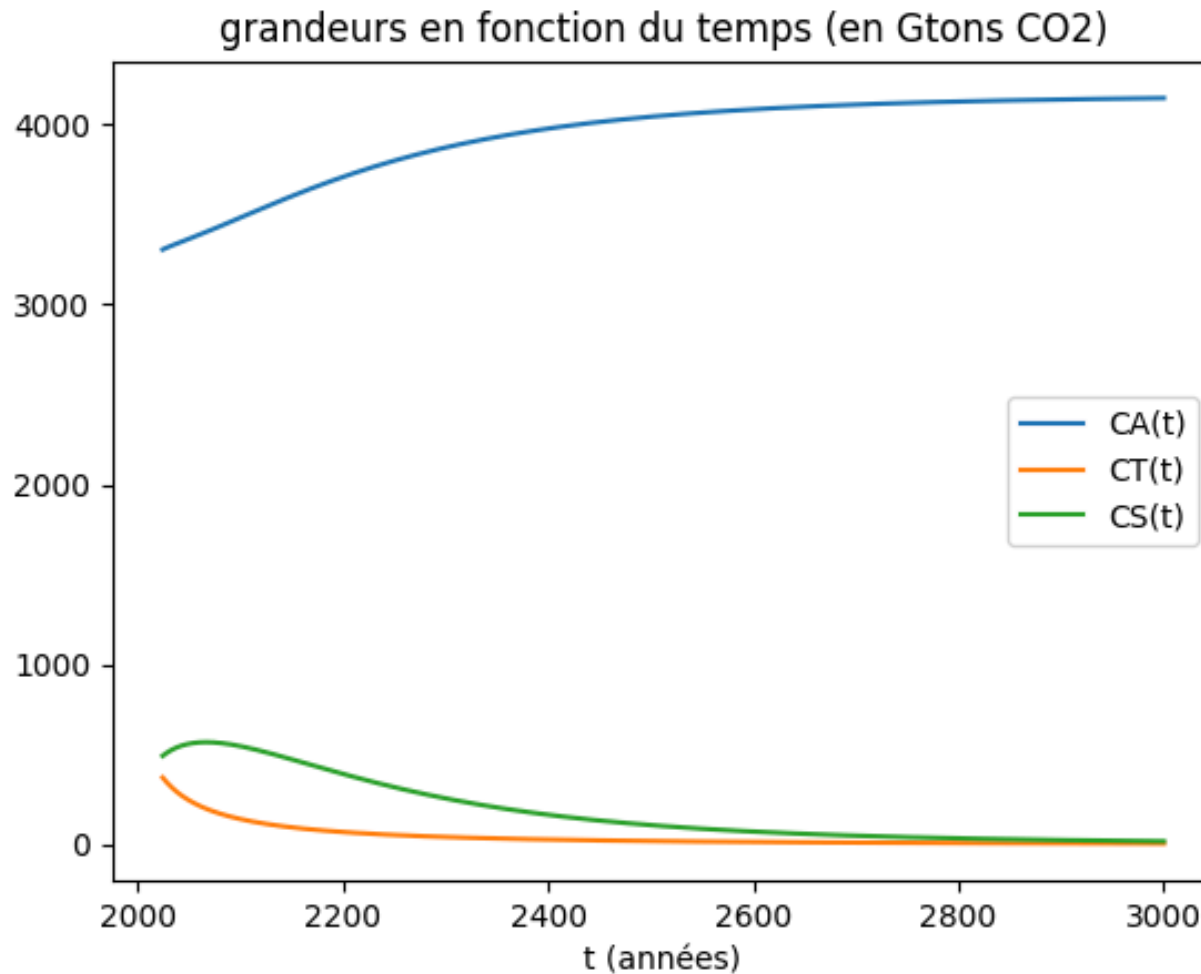
$$\begin{cases} X_{n,0} = C_{n-1} \\ X_{n,k+1} = X_{n,k} - \left(f'_{newton}(X_{n,k})\right)^{-1} \cdot f_{newton}(X_{n,k}) \end{cases}$$

La méthode converge car la fonction de newton est de déterminant non nul, et cette méthode converge plus rapidement que la précédente.

# Résultats :



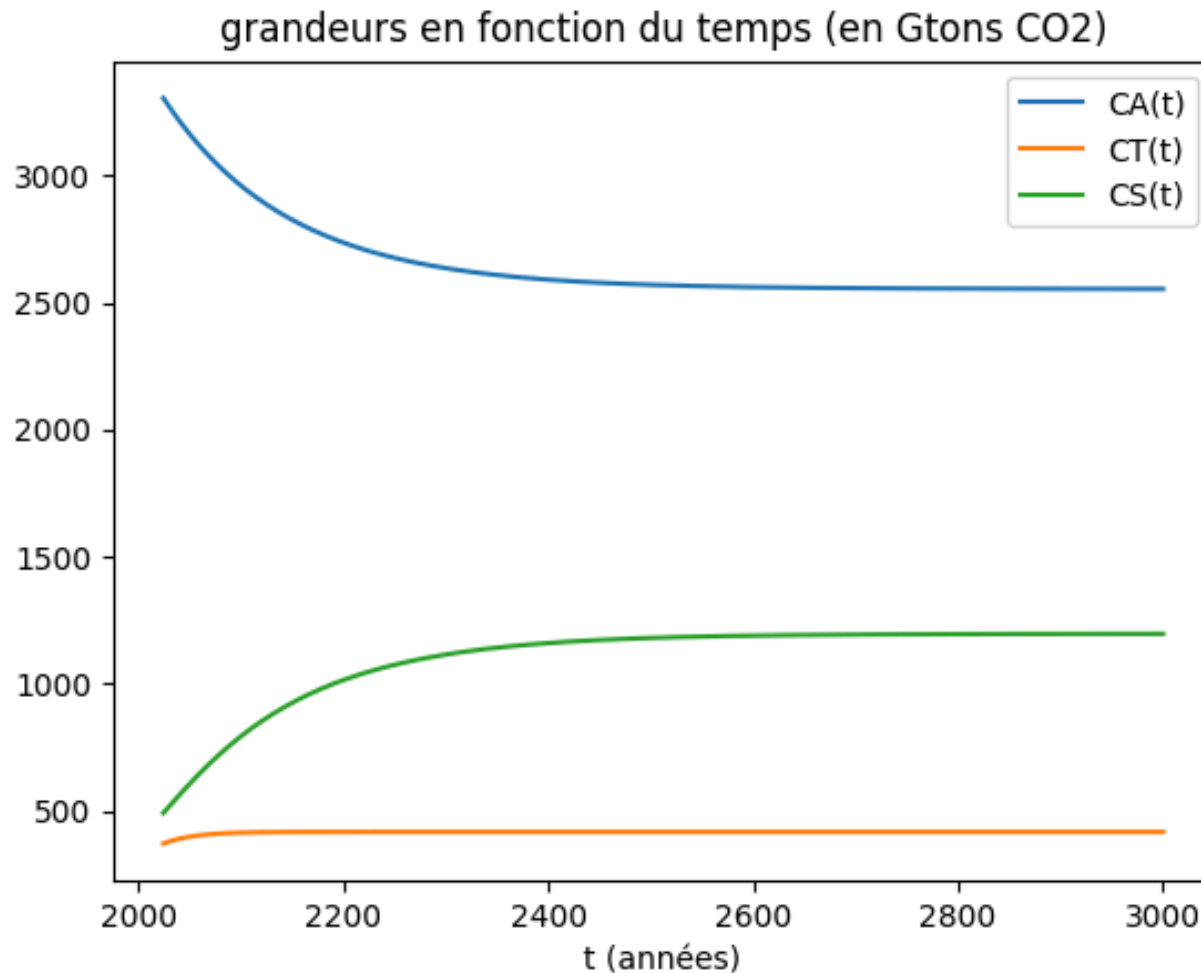
# Influence des constantes :



valeurs prédictives de 2024 à 3000

# Influence des constantes :

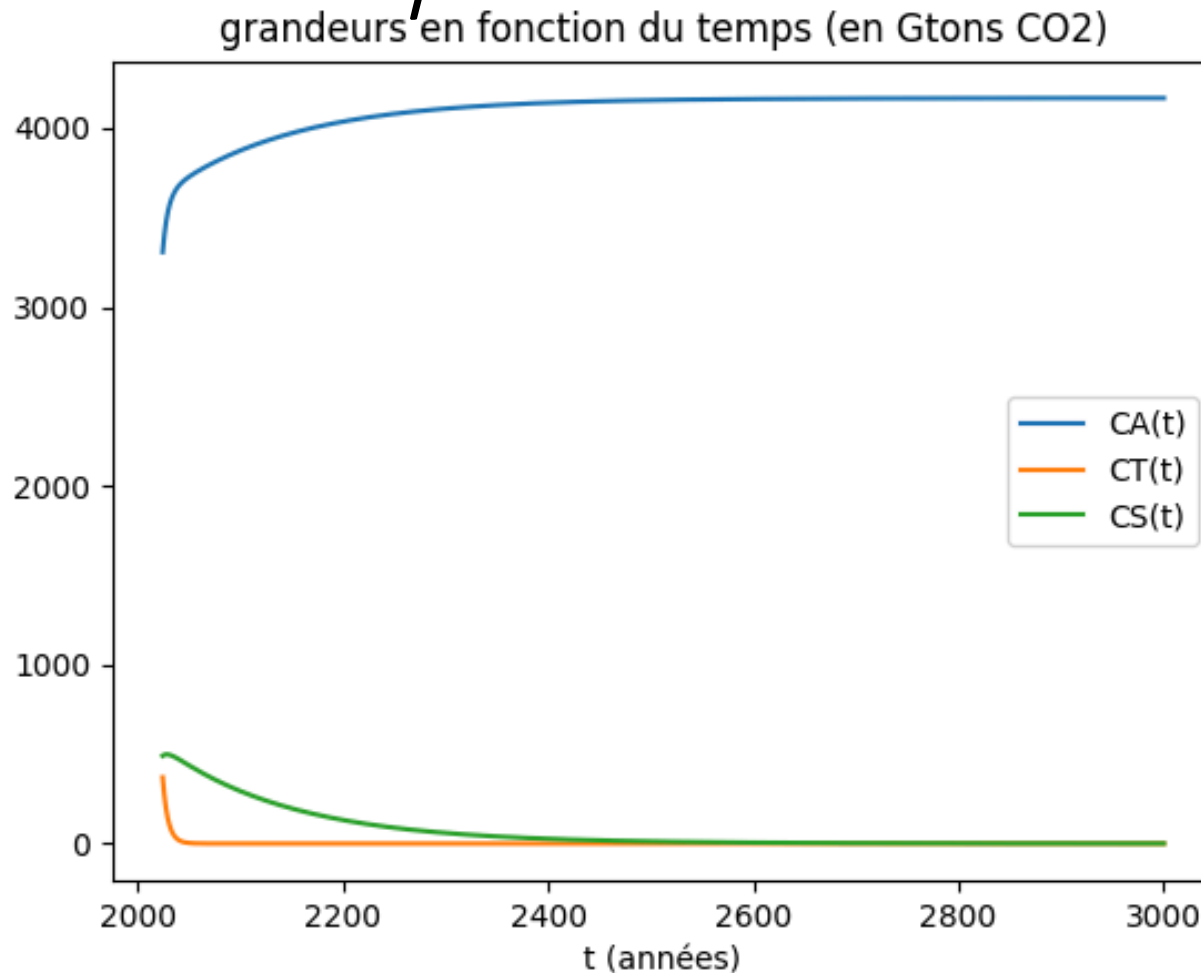
Augmentation de  $\alpha$  (x 2)



Plus de transfert vers les arbres depuis l'atmosphère

# Influence des constantes :

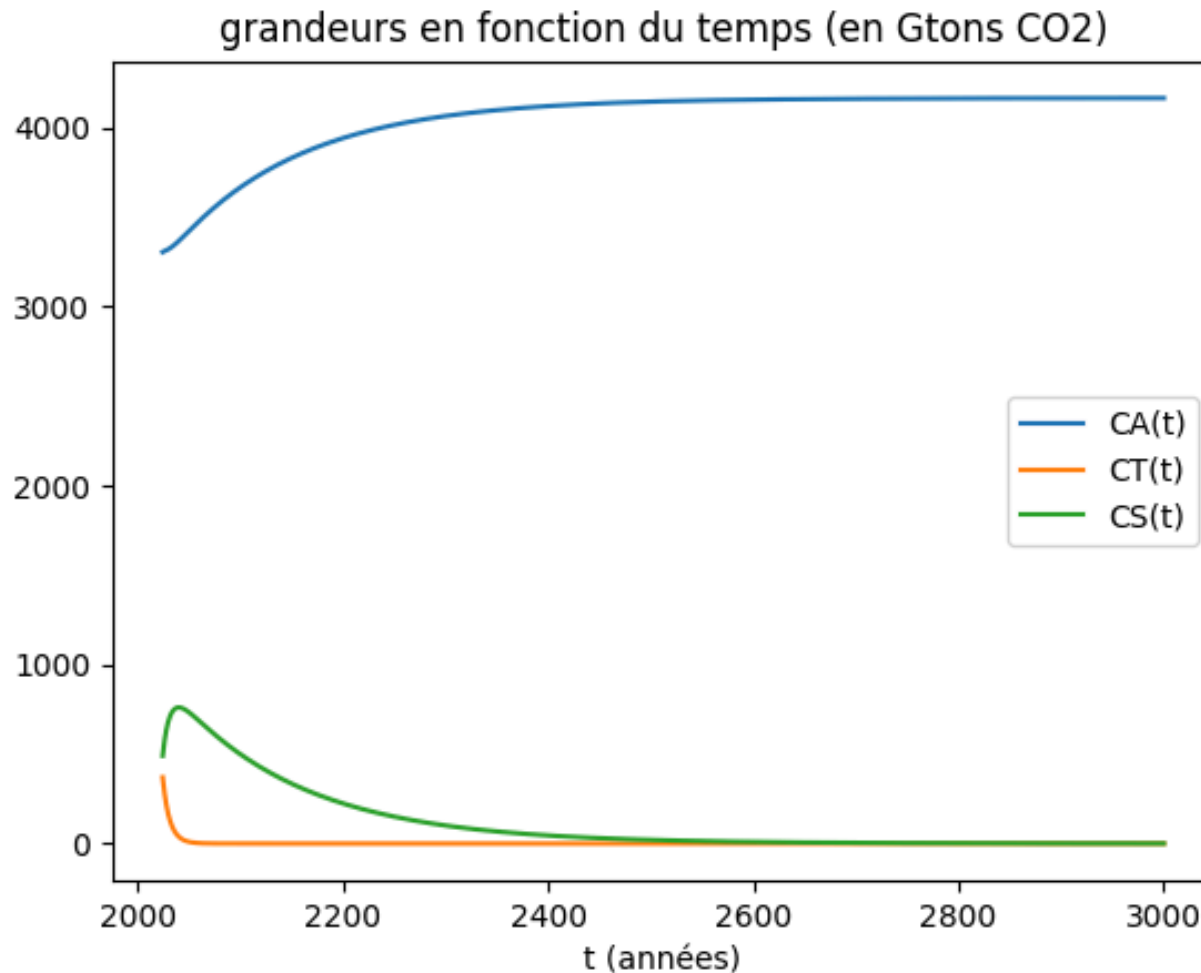
Augmentation de  $\beta$  (x 10)



Plus de transfert vers l'atmosphère depuis les arbres

# Influence des constantes :

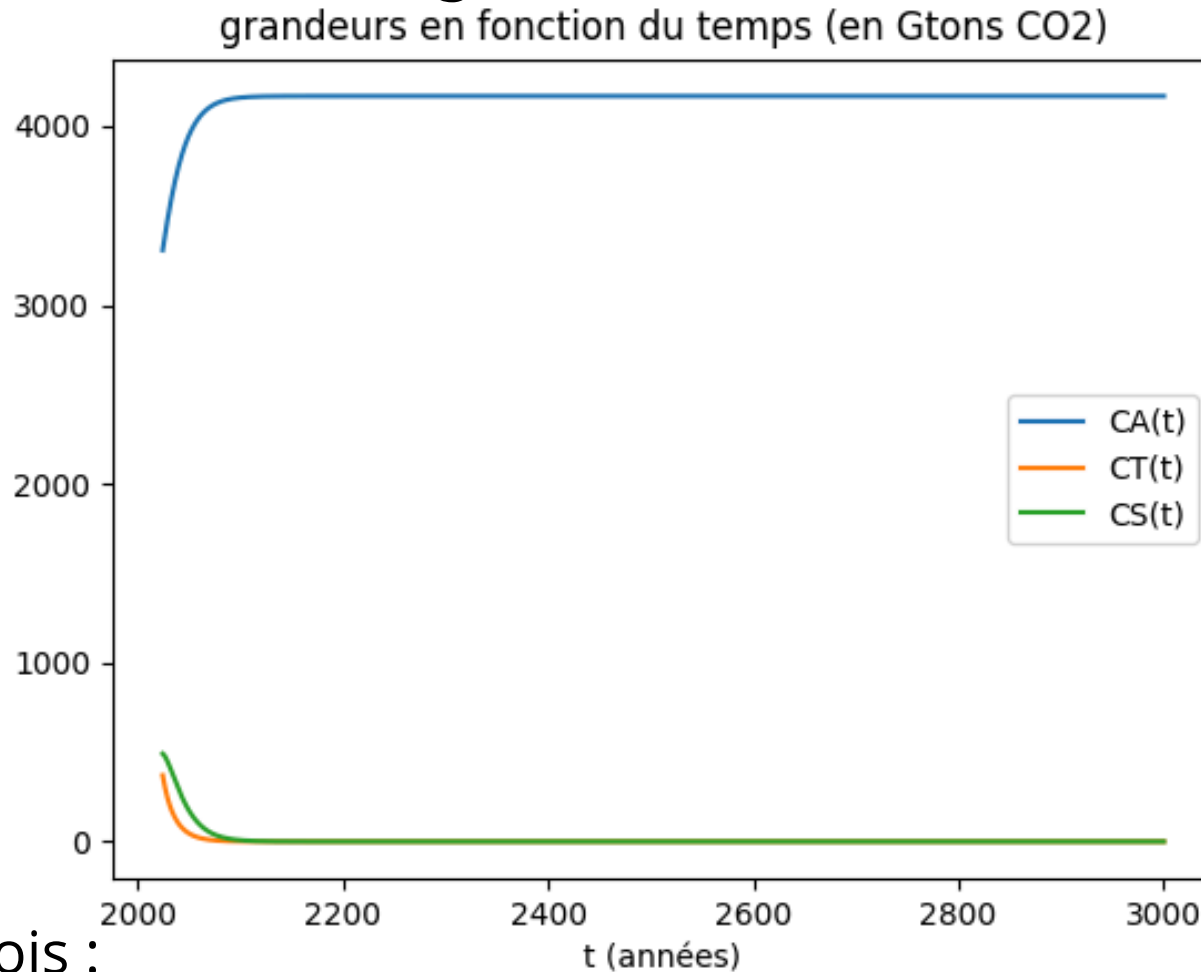
Augmentation de  $\gamma$  (x 10)



Plus de transfert vers les sols depuis les arbres

# Influence des constantes :

Augmentation de  $\delta$  ( $\times 10$ )



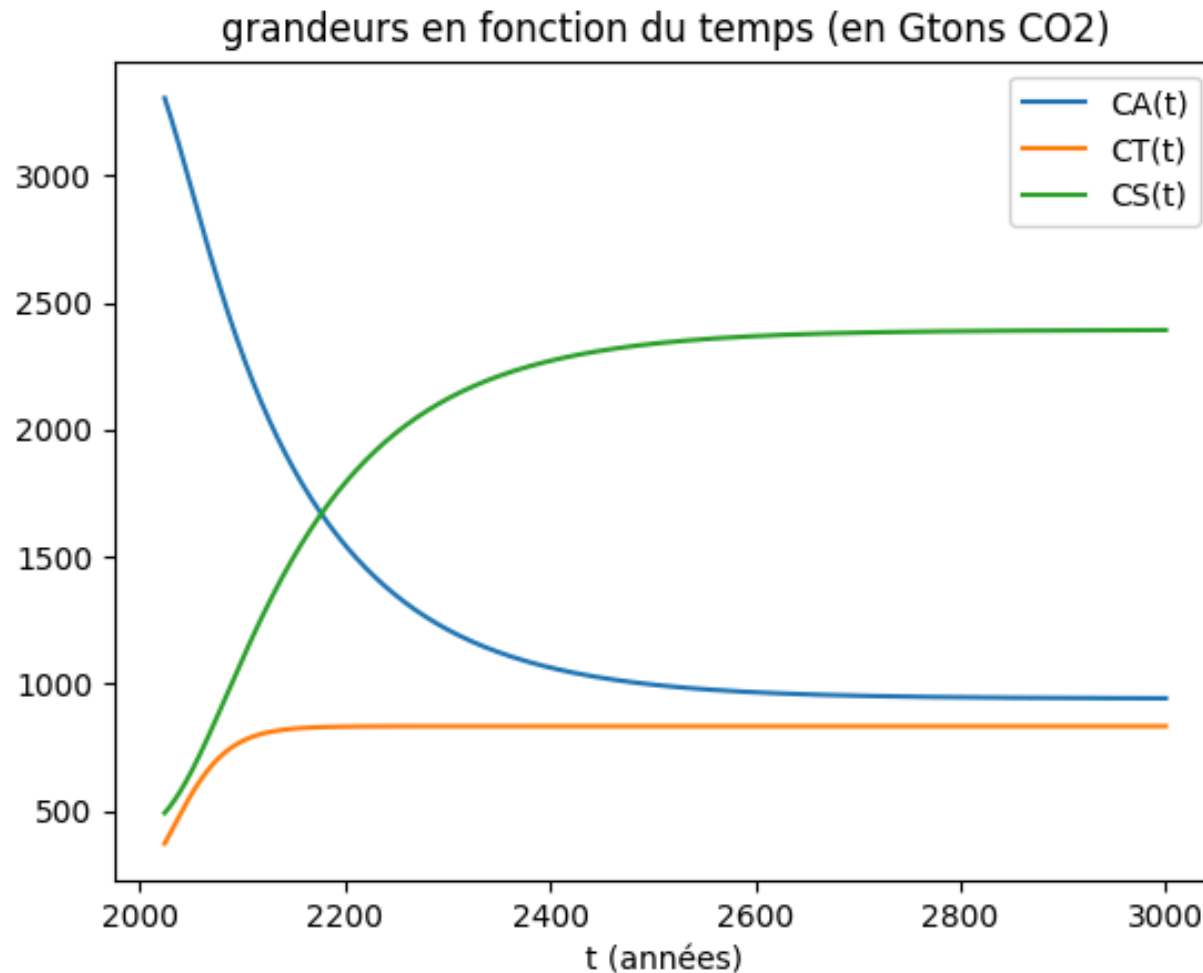
Impacte à la fois :

- Le transfert des arbres vers les sols
- Le transfert des sols vers l'atmosphère



# Influence des constantes :

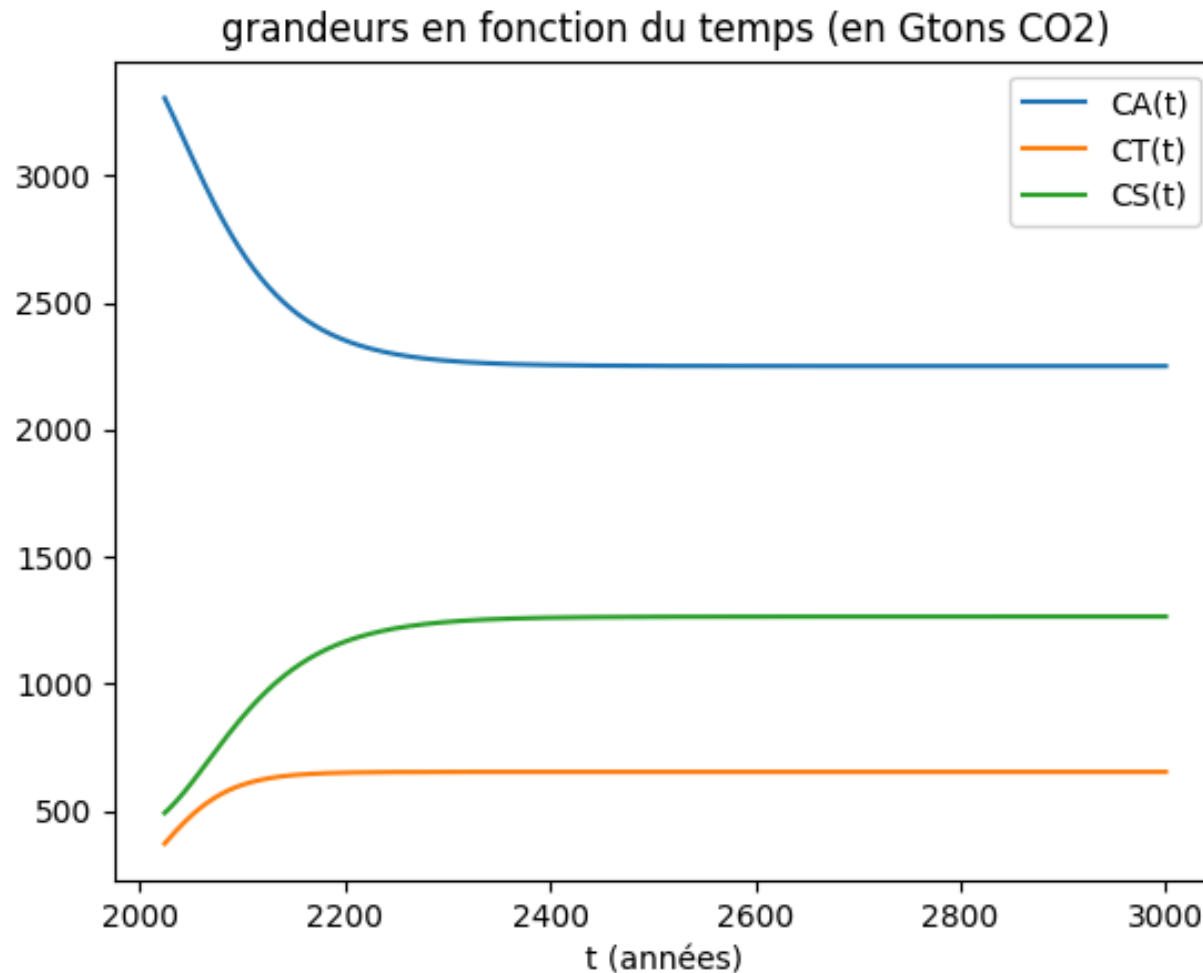
Augmentation de  $K$  et  $\alpha$  (x 2, 2)



On augmente à la fois la capacité de stockage des arbres, et l'absorption

# Influence des constantes :

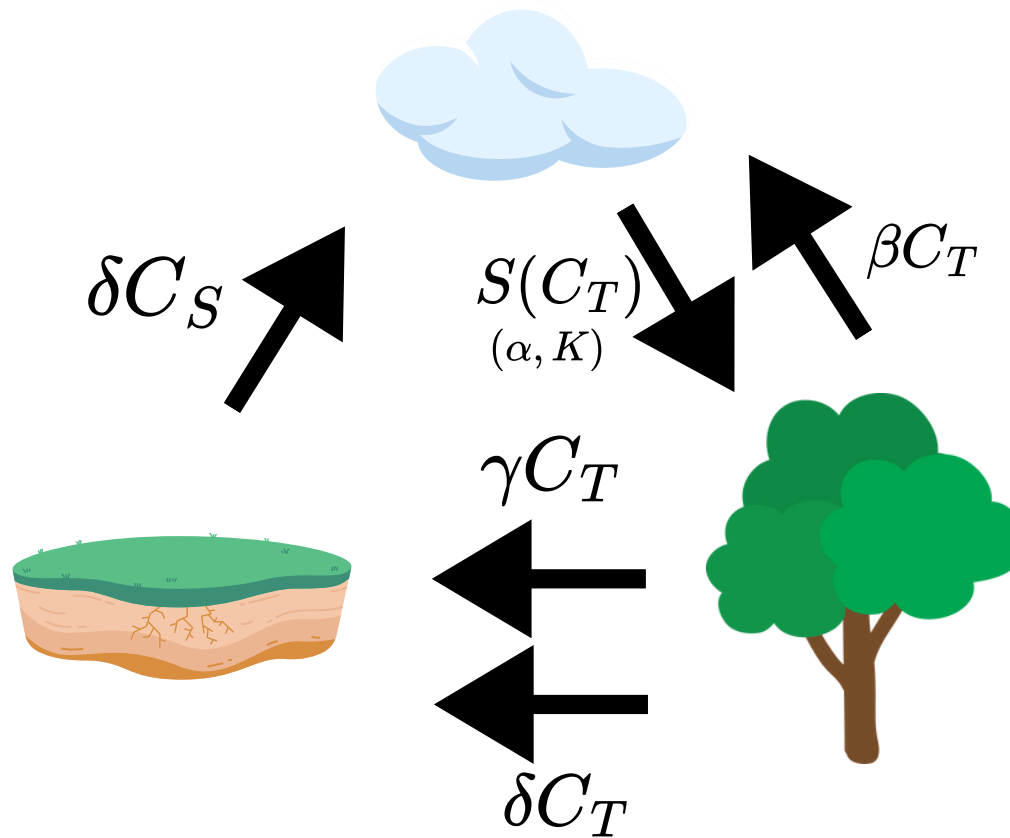
Augmentation de  $K$  et  $\alpha$  et  $\delta$  (x 2, 2, 2)



En augmentant beta, on rééquilibre

# Influence des constantes :

Conclusions :



# Améliorations du modèle :

On peut rajouter une 4eme valeur à étudier qui modélise les océans, ou lacs

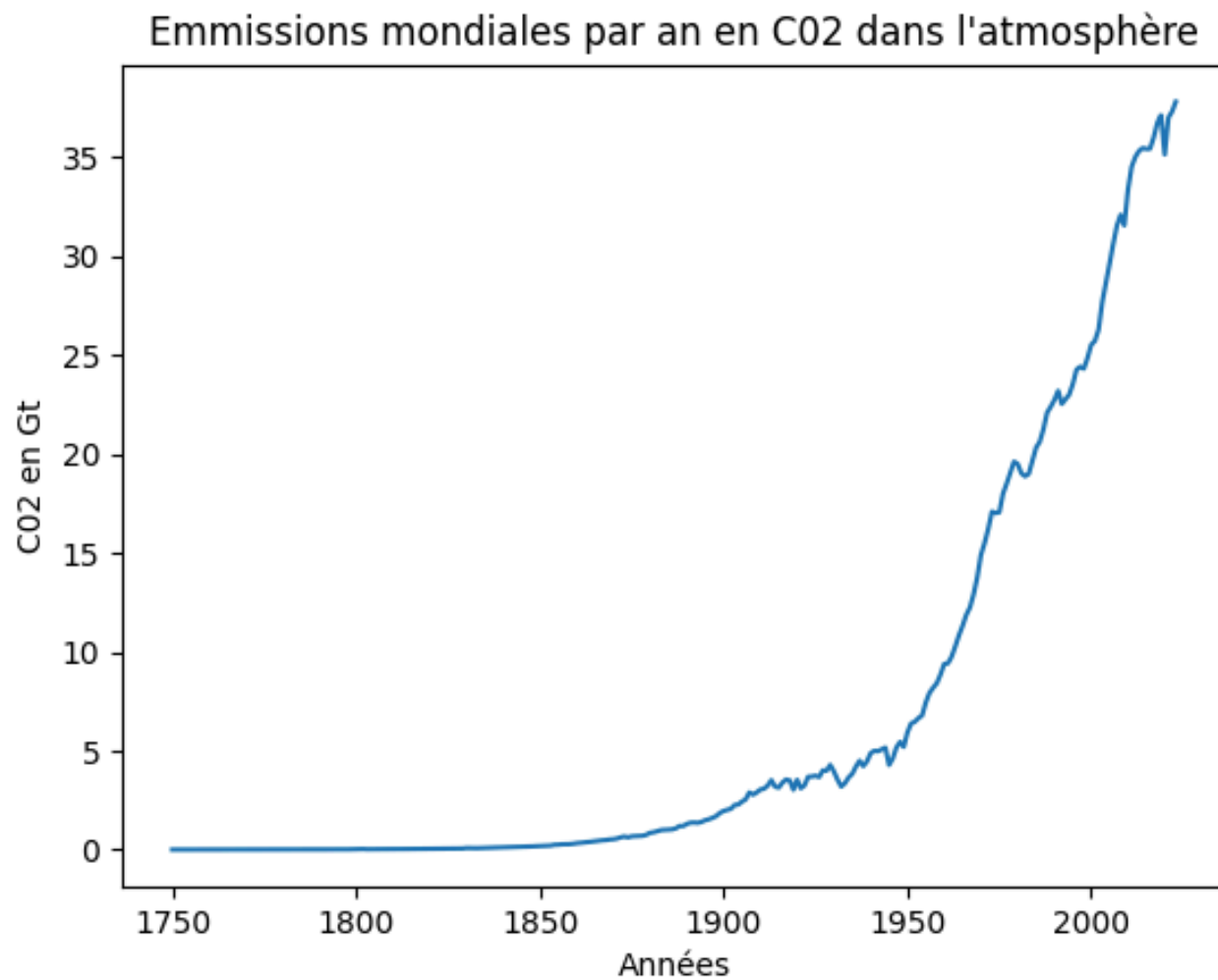
$$\left\{ \begin{array}{l} \frac{dC_A(t)}{dt} = -S(C_T(t)) + \beta C_T(t) + \delta C_S(t) - S_2(C_O(t)) + \omega C_O(t) \\ \frac{dC_T(t)}{dt} = S(C_T(t)) - \beta C_T(t) - \delta C_T(t) - \gamma C_T(t) \\ \frac{dC_S(t)}{dt} = \gamma C_T(t) - \delta C_S(t) + \delta C_T(t) \\ \frac{dC_O(t)}{dt} = S_2(C_O(t)) - \omega C_O(t) \end{array} \right.$$

$$S_2(C_O) = \alpha_2 C_O \left( 1 - \frac{C_O}{K_2} \right)$$

# Améliorations du modèle :

## Impact humain :

L'humain a un impact non négligeable sur la quantité de CO<sub>2</sub> dans l'atmosphère. On peut ajouter un terme source dans  $\frac{dC_A}{dt}$  pour modéliser cela



Source : Our World In Data

# Estimation du terme source :

On cherche le terme source sous la forme :

$$\lambda \exp(at) \quad \text{Ou encore :} \quad \exp(at + b)$$

On introduit l'EQM (Erreur Quadratique Moyenne) :

$$\frac{1}{n} \sum_{i=1}^n (\exp(at_i + b) - y_i)^2$$

Où les  $t_i$  correspondent au temps en année, et les  $y_i$  les émissions de CO2 durant cette année

On cherche à minimiser l'EQM

# Estimation du terme source :

On peut voir l'EQM comme une fonction des variables  $a$  et  $b$

$$EQM(a, b) = \frac{1}{n} \sum_{i=1}^n (\exp(at_i + b) - y_i)^2$$

$$\frac{dEQM}{da}(a, b) = \frac{2}{n} \sum_{i=1}^n t_i \exp(at_i + b) (\exp(at_i + b) - y_i)$$

$$\frac{dEQM}{db}(a, b) = \frac{2}{n} \sum_{i=1}^n \exp(at_i + b) (\exp(at_i + b) - y_i)$$



# Estimation du terme source :

Descente de gradient :

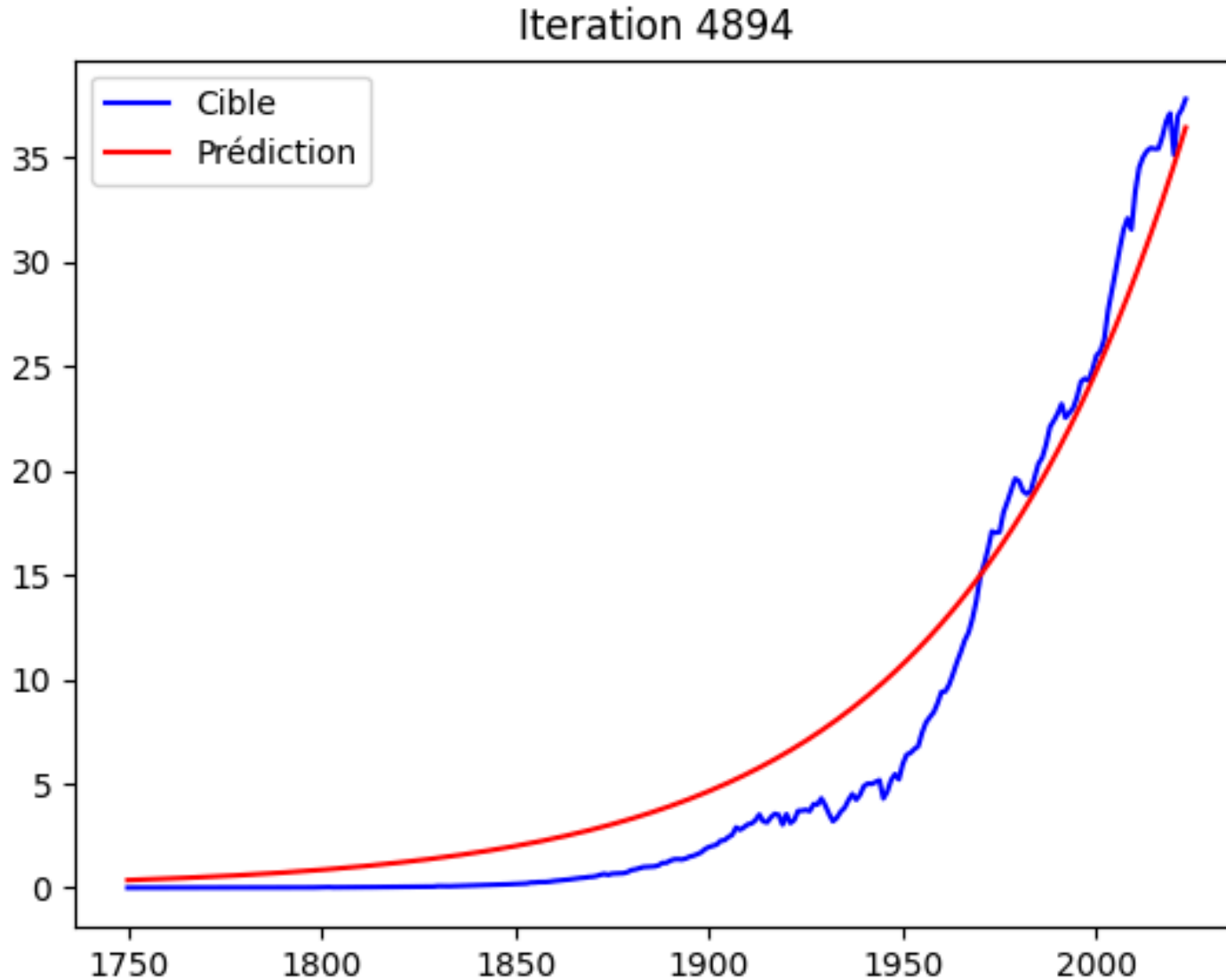
$$a = a - \left( \frac{dEQM}{da}(a, b) \right) * l_a$$

$$b = b - \left( \frac{dEQM}{db}(a, b) \right) * l_b$$

Où :  $l_a$  et  $l_b$  sont les "learning rate" de a et b

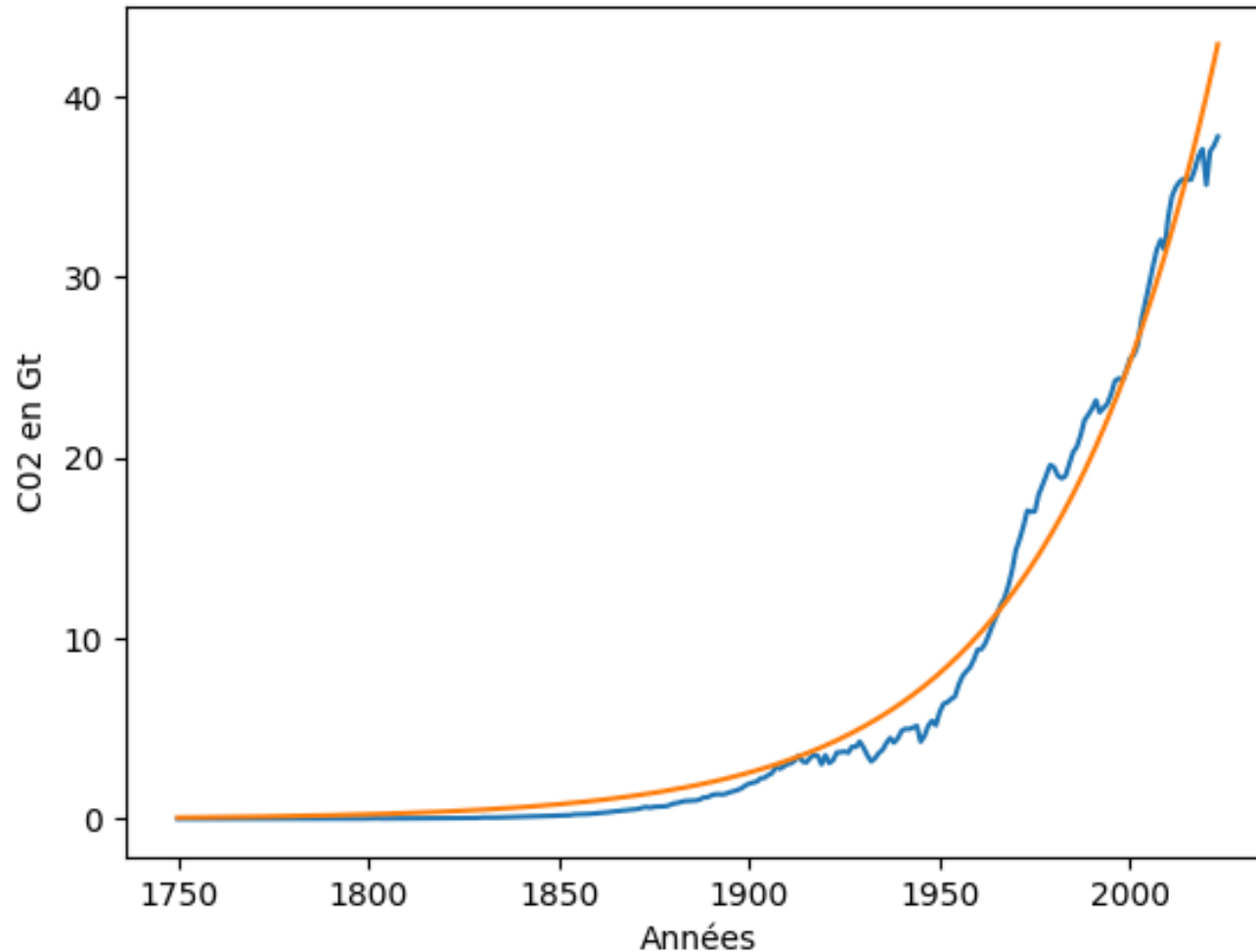
-Permettent d'ajuster le pas

# Estimation du terme source :



# Estimation du terme source :

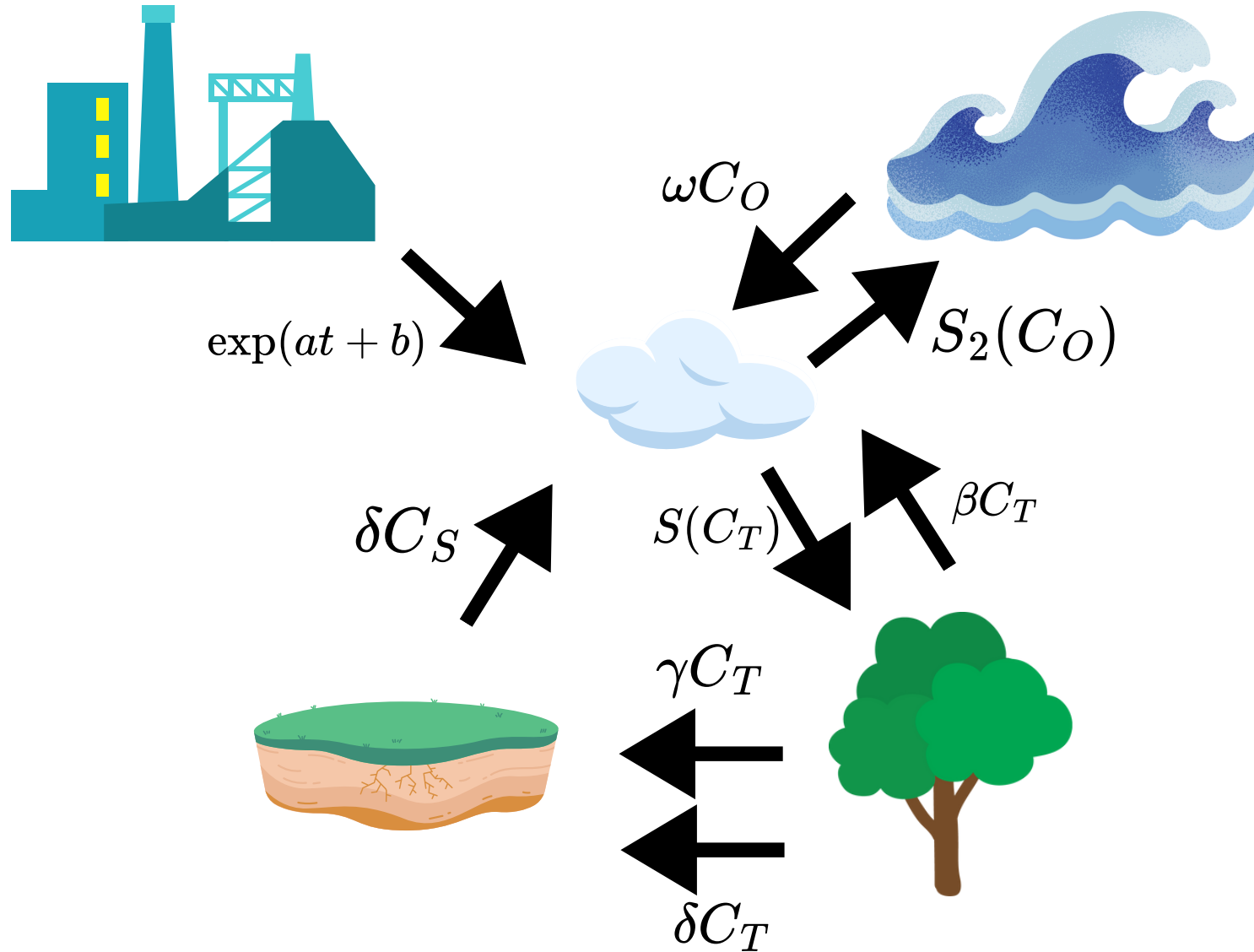
Emissions mondiales par an en CO2 dans l'atmosphère



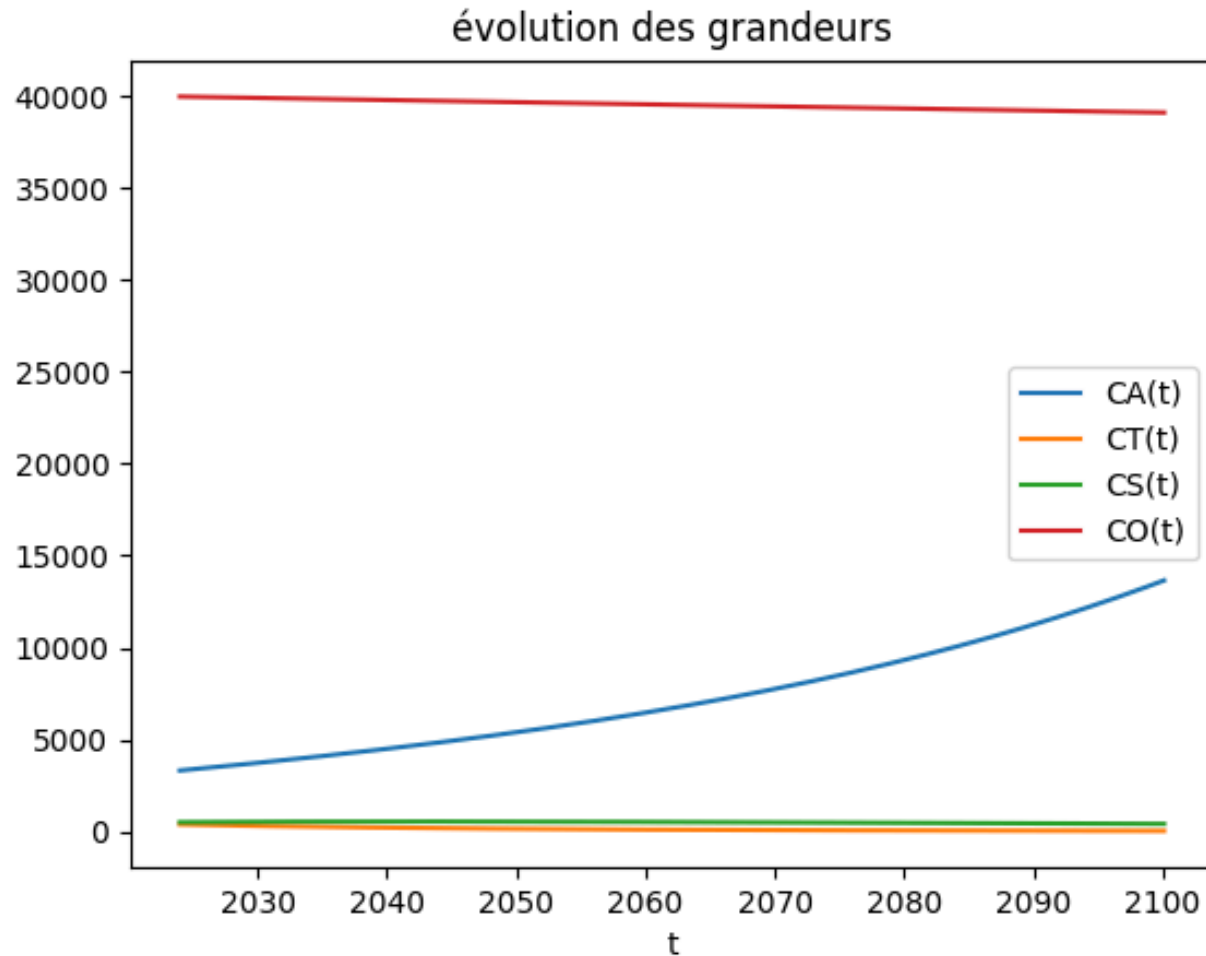
$a = 0.022863115449118603$

$b = -21.769830005922582$

# Nouveau modèle :



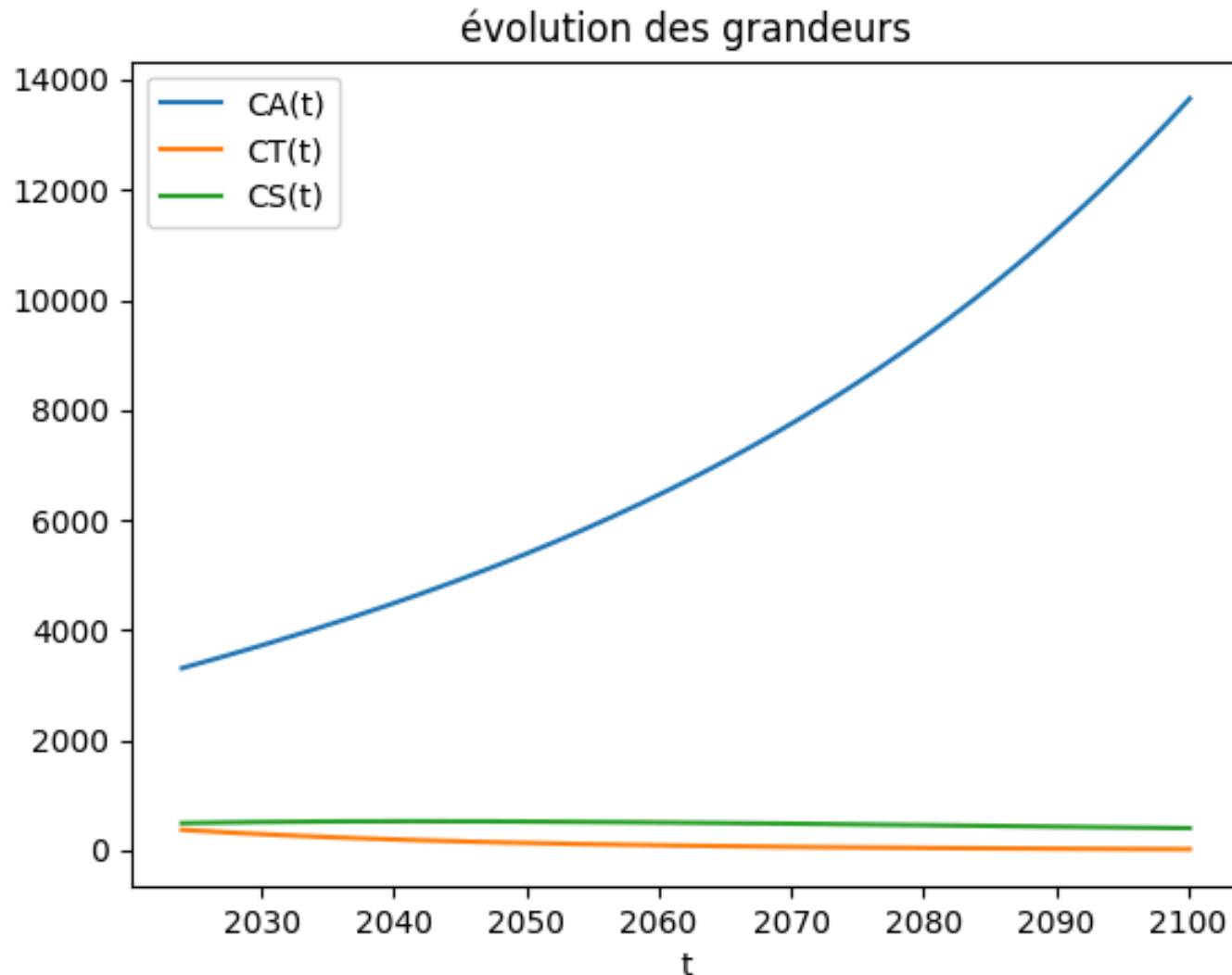
# Prédictions à l'aide du nouveau modèle :



Pour des raisons d'échelle, on n'affichera pas l'océan, celui-ci a tout de même un impact sur le modèle

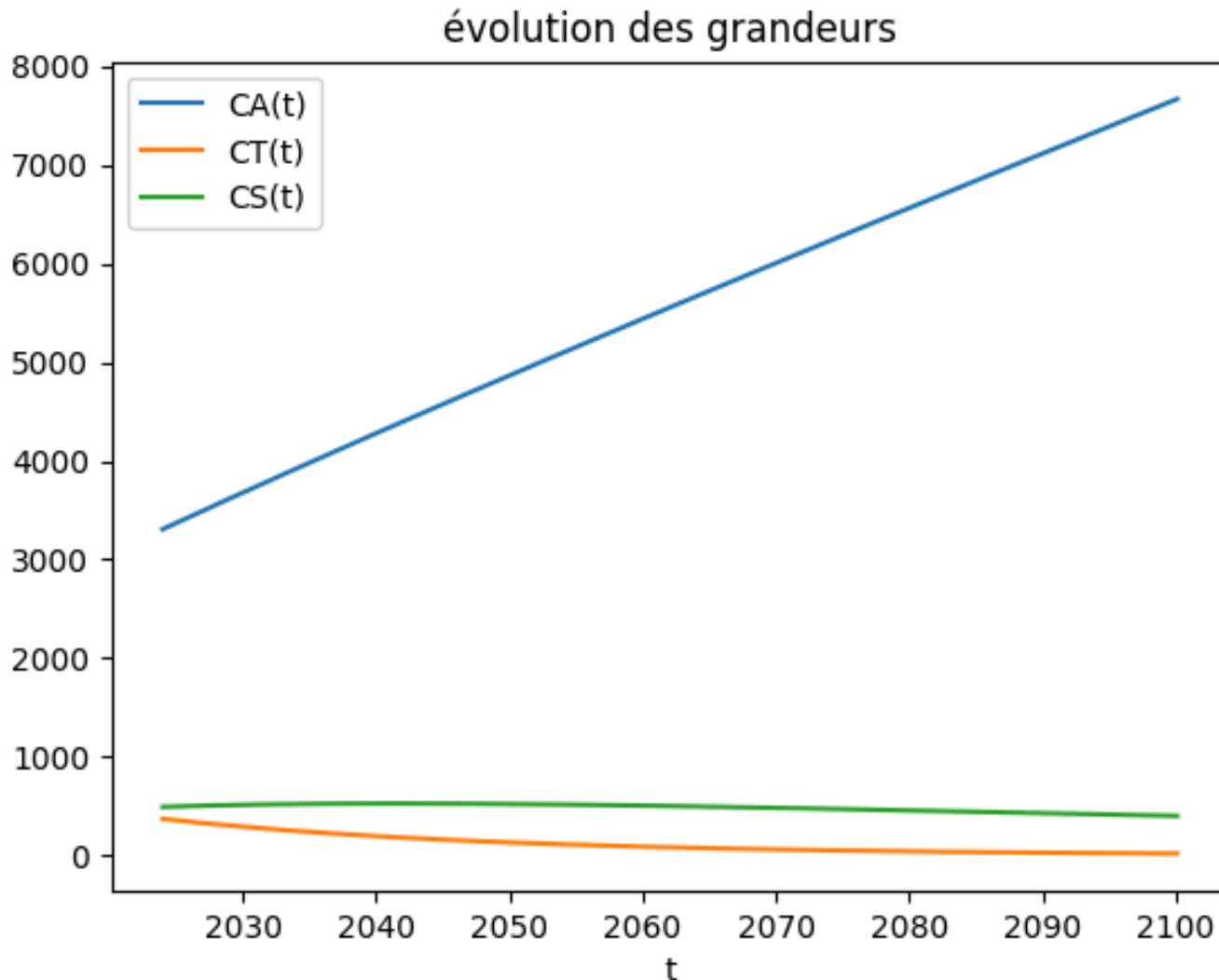
# Prédictions à l'aide du nouveau modèle :

Si les émissions de CO2 continuent d'augmenter :



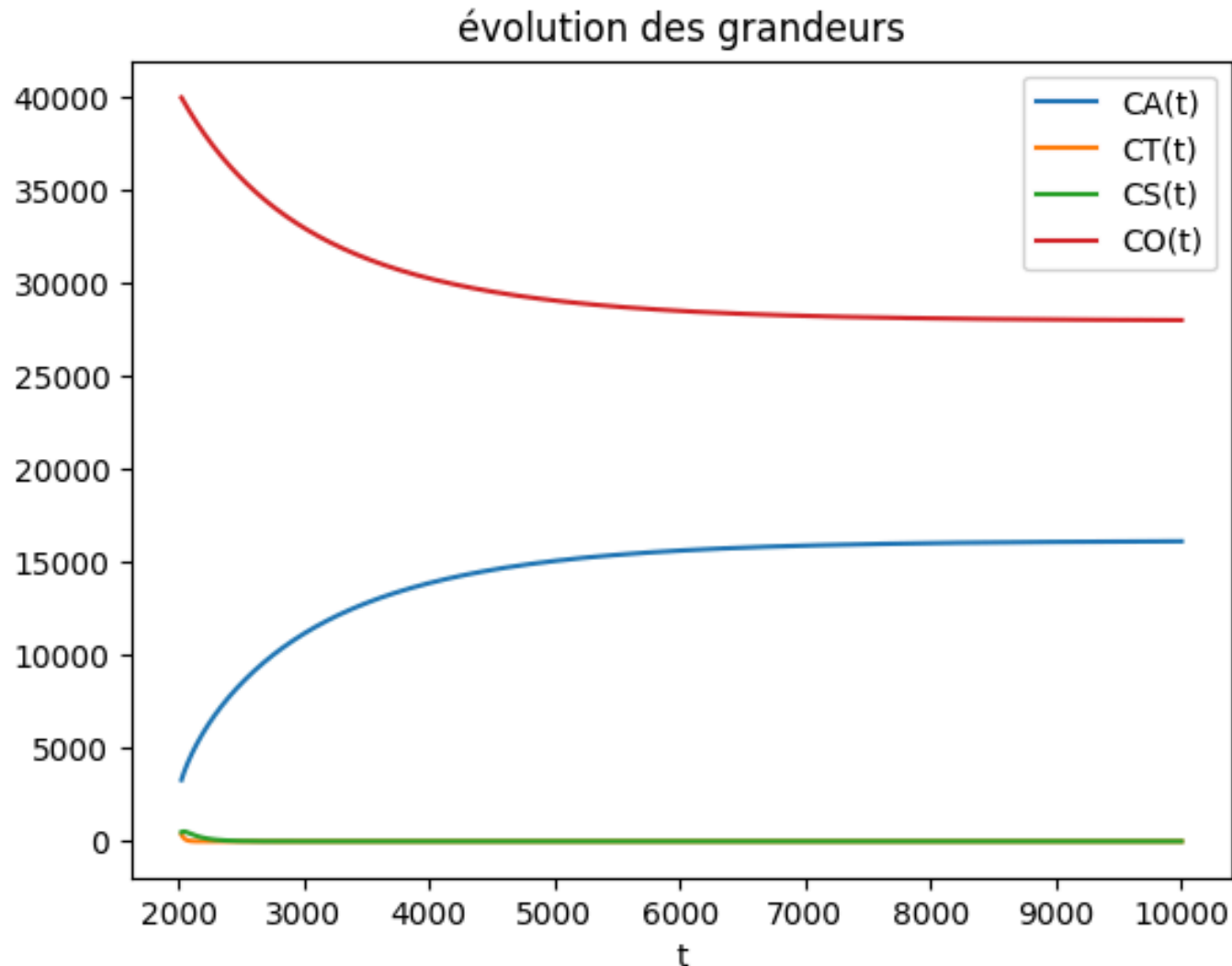
# Prédictions à l'aide du nouveau modèle :

Si les émissions de CO2 arrêtent d'augmenter :



# Prédictions à l'aide du nouveau modèle :

Scénario si l'humanité arrêta de produire du CO<sub>2</sub> :





**Merci de votre attention**

# Sources :

Woodwell Climate Research Center

Climate.gov

Our World in Data

L'océan, pompe à carbone

Laurent Bopp, Chris Bowler, Lionel Guidi, Éric  
Karsenti, Colombar de Vargas